

1: bkt

Generez toate combinările nodurilor de N luate câte k . Pe măsură ce obțin o nouă combinație, o verific dacă este k -clacă. Dacă da, afisez True și opresc programul. Dacă nu, generez următoarea combinație. Tot așa până am epuizat toate combinațiile, caz în care înseamnă că nu s-a găsit nicio k -clacă deci afisez False.

Complexitatea este $O(n^k * k^2)$

2: rdc

La laboratorul 8, ni s-a prezentat reducerea $SAT \leq_p k\text{-Clique}$, pe care încerc să o inversez. Construiesc un grafic asemănător și în cazul $k\text{-Clique} \leq_p SAT$ ca în cazul de la laborator, în funcție de care construiesc clauzele.

```
(  
  Exemplul din laborator:  
  SAT  $\leq_p$  k-Clique: ( $\phi = c_1 \wedge c_2 \wedge \dots \wedge c_n$ )  
   $k = n$   
  G:  
     $V = \{x_{vi} \text{ pt fiecare } L_{vi} \text{ din fiecare } c_i\}$   
     $E = (x_{ui}, x_{vj})$  aparține  $E$  dacă  $i \neq j$ ,  $L_{ui} \neq \sim L_{vj}$   
)
```

$k\text{-Clique}(k, G) \leq_p SAT(\phi)$:

($L_{vi} = \text{True}$ dacă nodul v este al i -lea nod din k -clacă)

$n = k$

- (1) Pentru fiecare i , unul dintre noduri trebuie să fie al i -lea nod din clacă. Deci am câte o clacă c_i ($i=1..k$) cu literalii L_{vi} pentru fiecare nod $v=1..N$ ($c_i = L_{1i} \vee L_{2i} \vee \dots \vee L_{Ni}$).
- (2) Totodată, același nod nu poate apărea de mai multe ori în clacă. Deci, pentru oricare nod v , $(\sim L_{vi} \vee \sim L_{vj})$ oricare $i \neq j$
- (3) Dacă între 2 noduri nu este muchie, nu pot fi amândouă într-o clacă. Deci dacă u și v nu sunt adiacente, am clacă $(\sim L_{ui} \vee \sim L_{vj})$ pentru orice $i \neq j$ (i, j fiind perechi de "nivele" din clacă, $1 \leq i < j \leq k$)

inputul pentru SAT va fi $\phi =$ conjuncția tuturor clauzelor obținute din (1), (2), (3)

(1) k clauze cu câte N literali: $N * k$

(2) ($N * \text{combinari de } k \text{ luate câte } 2$) clauze cu 2 literali: $N * k * (k - 1)$

(3) combinari de N luate câte 2 perechi de muchii * combinari de k luate câte 2 perechi (i, j) clauze cu 2 literali: $N * (N - 1) * k * (k - 1)$

Adunand (1), (2), (3) obțin $N * k * (N * k - N + 1)$ adică $O(N^2 * k^2)$ clauze.

Cum $k < N$ și k depinde de N , complexitatea transformării este $O(N^4)$, deci polinomială.

Demonstratie $k\text{-Clique}(k, G) = 1 \Leftrightarrow \text{SAT}(\phi) = 1$

1) $k\text{-Clique}(k, G) = 1 \Rightarrow \text{SAT}(\phi) = 1$

$k\text{-Clique}(k, G) = 1 \Leftrightarrow$ Există k noduri distincte adiacente 2 câte 2 care să formeze o clică, $[v_1, v_2, \dots, v_k]$ (v_i fiind din lista de noduri și distincte 2 câte 2).

Deci există literalii $L_{v_1,1} L_{v_2,2} \dots L_{v_k,k}$ care sunt adevărați și astfel sunt îndeplinite cele 3 tipuri de clauze:

- Există k noduri în clică \rightarrow îndeplinește clauzele de tipul (1)
- Faptul că sunt noduri distincte îndeplinește (2)
- Adiacente 2 câte 2 îndeplinește (3)

De unde rezultă că $\text{SAT}(\phi) = 1$

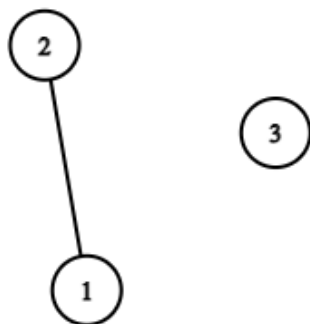
2) $\text{SAT}(\phi) = 1 \Rightarrow k\text{-Clique}(k, G) = 1$

$\text{SAT}(\phi) = 1 \Leftrightarrow$ oricare clauză este adevărată \Rightarrow există literalii $L_{v_1,1} L_{v_2,2} \dots L_{v_k,k}$ care sunt adevărați (din clauzele care impun cele 3 condiții: există k astfel de literali, vizează noduri distincte, nodurile vizate au toate muchiile între ele) \Rightarrow nodurile $[v_1, v_2, \dots, v_k]$ (unde v_i distincte 2 câte 2, adiacente 2 câte 2) formează o k -clică $\Rightarrow k\text{-Clique}(k, G) = 1$

Exemple:

Exemplu 1:

Fie $k = 2$ și graful G cu 3 noduri și muchia $(1, 2)$.



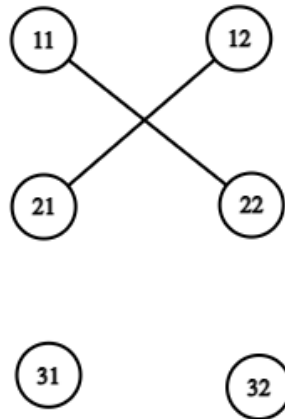
Îmi imaginez graful cu $k * N = 6$ noduri $x_{v,i}$, pentru fiecare nod v al grafului original și pentru $i = 1..k$.

Deci, ca exemplu:

11 e pentru nodul 1, pozitia 1 in clica

21 e pentru nodul 2, pozitia 1 in clica

12 e pentru nodul 1, pozitia 2 in clica



Am asezat pe coloane nodurile grafului initial, coloana c_i avand al i -lea element din clica.

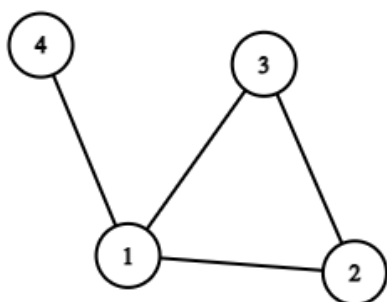
Din graful rezultat, construiesc clauzele, conform transformarii polinomiale ($O(N^4)$) din README:

- (1) (11 V 21 V 31)
(12 V 22 V 32)
- (2) (~11 V ~12)
(~21 V ~22)
(~31 V ~32)
- (3) (~11 V ~32)
(~21 V ~32)
(~31 V ~12)
(~31 V ~22)

$$\text{Phi} = (11 \vee 21 \vee 31) \wedge (12 \vee 22 \vee 32) \wedge (\sim 11 \vee \sim 12) \wedge (\sim 21 \vee \sim 22) \wedge (\sim 31 \vee \sim 32) \wedge (\sim 11 \vee \sim 32) \wedge (\sim 21 \vee \sim 32) \wedge (\sim 31 \vee \sim 12) \wedge (\sim 31 \vee \sim 22)$$

Phi este adevarata doar pentru perechile (11 True, 22 True, restul False) si (21 True, 12 True, restul False) => 2-clica formata din nodurile (1, 2)

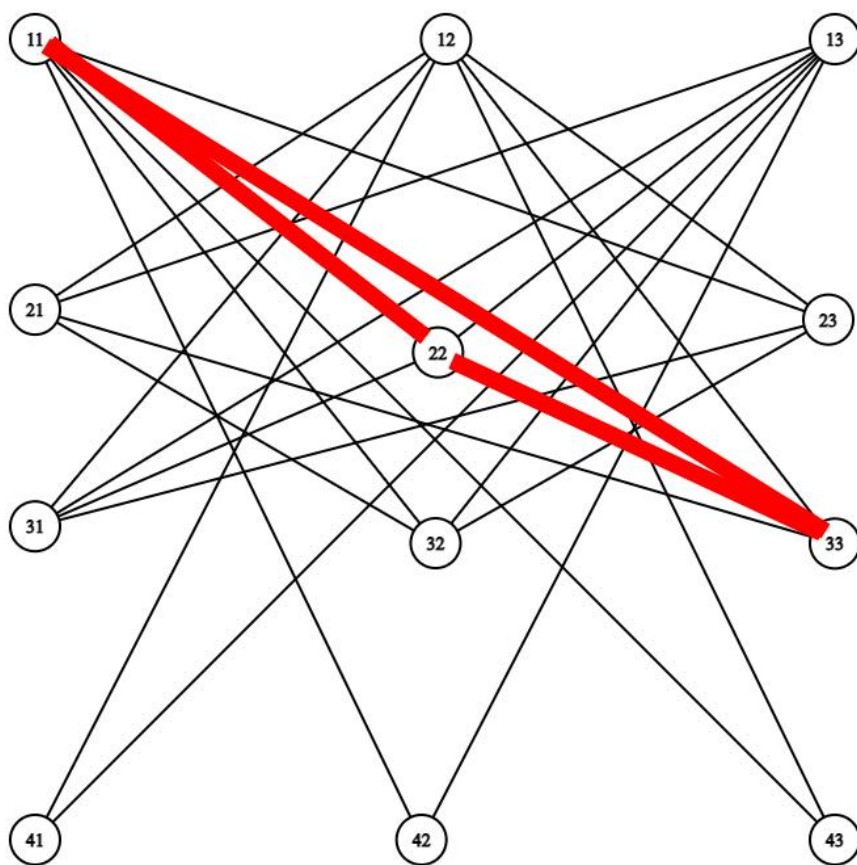
Exemplu 2:



Fie $k = 3$ si graful G cu 4 noduri si muchiile

1 2
1 3
2 3
1 4

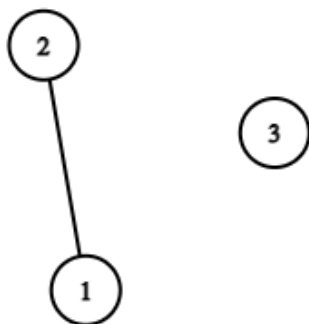
Imi imaginez graful cu $k * N = 12$ noduri $x_{v,i}$, pentru fiecare nod v al grafului original si pentru $i = 1..k$.



Clauzele se obtin ca mai sus. Am evidentiata cu rosu una din perechile care vor fi gasite rezolvand formula obtinuta cu un SAT solver.

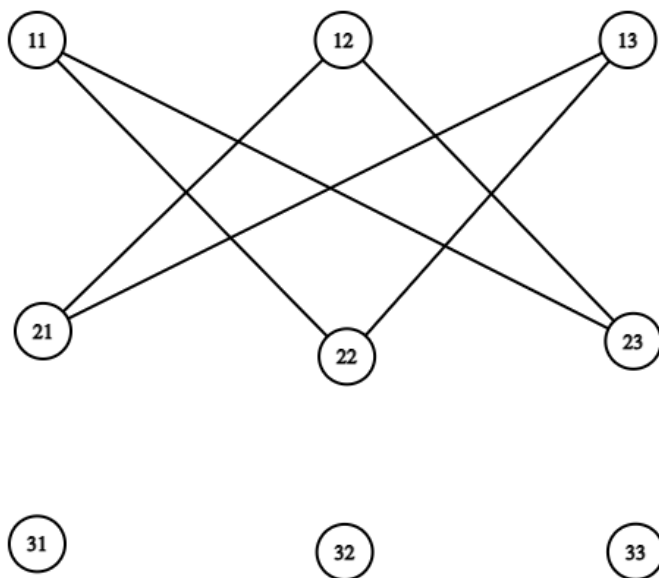
Exemplu 3:

Fie $k = 3$ si graful G cu 3 noduri si muchia $(1, 2)$.



Imi imaginez graful cu $k * N = 9$ noduri $x_{v,i}$, pentru fiecare nod v al grafului original si pentru $i = 1..k$.

Se observa ca nu exista nicio 3-clica



Din graful rezultat, construiesc clauzele, conform transformarii polinomiale ($O(N^4)$) din README:

- (1) $(11 \vee 21 \vee 31)$
 $(12 \vee 22 \vee 32)$
 $(13 \vee 23 \vee 33)$
- (2) $(\sim 11 \vee \sim 12)$
 $(\sim 11 \vee \sim 13)$
 $(\sim 12 \vee \sim 13)$
 $(\sim 21 \vee \sim 22)$
 $(\sim 21 \vee \sim 23)$

- (~22 V ~23)
- (~31 V ~32)
- (~31 V ~33)
- (~32 V ~33)
- (3) (~11 V ~32)
- (~11 V ~33)
- (~12 V ~33)
- (~21 V ~32)
- (~21 V ~33)
- (~22 V ~33)
- (~31 V ~12)
- (~31 V ~22)
- (~32 V ~13)
- (~32 V ~23)

Φ = conjunctia clauzelor de mai sus. Nu are solutie \Rightarrow nu exista 3-clica, ceea ce este adevarat.

Rezultate, comparatia implementarilor si cazuri & exemple favorabile:

Se pare ca in toate categoriile primite, backtrackingul dureaza mai putin decat reducerea. Am facut totusi la bkt optimizarea ca nu caut subgrafuri cu dimensiunea mai mare decat k. Si transformarea pentru rdc este cu siguranta polinomiala.

Cred ca faptul asta se datoreaza unui k prea mic sau prea mare, caz in care backtrackingul ruleaza intr-un timp chiar polinomial.

De exemplu, pentru un N mare ($N > 100$) si un k mic (ex $k = 3$), complexitatea este $O(N^3)$ pentru bkt. Dar, daca ar fi sa aleg teste in care aleg k ca fiind $N/2$ (gen $N=100, k=50$), se observa ca bkt dureaza mult prea mult ($O(N^N)$ pentru ca k depinde de N).

Local, pentru $N=50$ si $k=25$, bkt ruleaza de cateva minute si inca nu s-a terminat. Pana si $N=50$ si $k=6$ e prea mult pentru bkt, cu tot cu optimizarile, in timp ce reducerea rezolva relativ repede. ($N=50, k=6$: bkt=92.8s, rdc=6.7s) Pe de alta parte, pentru $k=N$, bkt este instant in timp ce rdc dureaza prea mult ($n=50, k=50$: bkt=0.06s, rdc=384.7s).

De aici deduc ca rdc este mai optim pentru un k din zona mai din mijloc a lui $\text{range}(1, N)$ ($k=N/2$ fiind cel mai favorabil pentru rdc), in timp ce bkt este mai optim pentru k din extremitatile range-ului ($k=1$ sau $k=N$ cel mai favorabil pentru bkt, dar pentru $k=N$ se obtine cea mai mare diferenta intre rdc si bkt in favoarea bkt)

Deci, pentru un k suficient de apropiat de $N/2$, este mult mai optima rezolvarea cu reducerea. Deci $k = N/2$ ar face cea mai mare diferenta in favoarea reducerii. Totusi, pentru un numar mic de noduri N, nu se poate observa acest lucru. Din acest motiv am mai facut o categorie,

Petre-Florin Stegarus - 323CB

category4, in care am pus 2 teste care sunt in favoarea reducerii. Le-am atasat in caz ca vreti sa le incercati (local: bkt=12.7s rdc=5.1s)

Pe scurt, pentru N suficient de mare si k suficient de apropiat de $N/2$, bkt dureaza mult prea mult, in timp ce rdc este foarte rapid. Apoi, cu cat creste k si se departeaza de $N/2$, bkt incepe sa devina mai eficient decat rdc.